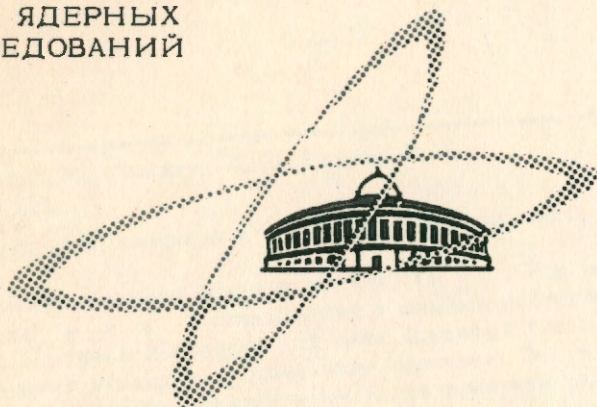


ОБЪЕДИНЕННЫЙ
ИНСТИТУТ
ЯДЕРНЫХ
ИССЛЕДОВАНИЙ

Дубна

Р - 2620



С.М. Биленький, Л.И. Лapidус,
Р.М. Рындин, Л.Ш. Шехтер

СОХРАНЕНИЕ ИЗОСПИНА
И ПОЛЯРИЗАЦИОННЫЕ ЭФФЕКТЫ

ЛАБОРАТОРИЯ ЯДЕРНЫХ ПРОБЛЕМ
ЛАБОРАТОРИЯ ТЕОРЕТИЧЕСКОЙ ФИЗИКИ

1966

Р - 2620

С.М. Биленький, Л.И. Лapidус,
Р.М. Рындин, Л.Ш. Шехтер

СОХРАНЕНИЕ ИЗОСПИНА
И ПОЛЯРИЗАЦИОННЫЕ ЭФФЕКТЫ

Направлено в ЯФ

**Научно-техническая
библиотека
ОИЯИ**

1. Обычные методы прямой проверки изотопической инвариантности состоят в проверке соотношений между дифференциальными сечениями разных реакций, вытекающих из изотопической инвариантности^{/1/}, либо в проверке запретов, которые накладывает изотопическая инвариантность^{/2/}, либо, наконец, в проверке треугольных неравенств^{/3/}.

Баршай и Теммер^{/4/} обратили внимание на то, что сохранение изотопического спина приводит к симметрии относительно замены $\theta \rightarrow \pi - \theta$ (θ - угол в с.п.и.) дифференциальных сечений реакций

$$a + a' \rightarrow b + b' , \quad (1)$$

где частицы a и a' (либо частицы b и b') принадлежат к одному изотопическому мультиплету, а полный изотопический спин конечных (либо начальных) частиц может принимать только одно значение. Проверка соотношения

$$\sigma_0(\theta) = \sigma_0(\pi - \theta), \quad (2)$$

где $\sigma_0(\theta)$ - дифференциальное сечение реакции (1) в случае неполяризованных начальных частиц, представляет собой, таким образом, проверку изотопической инвариантности^{x/}. Преимущество такого метода проверки состоит в том, что он не требует сравнения наблюдаемых величин в различных реакциях. Дифференциальное сечение $\sigma_0(\theta)$ может, однако, оказаться симметричным относительно 90° и в силу ряда причин динамического характера^{/4/}.

Мы покажем здесь, что вследствие сохранения изотопического спина возникают также соотношения, связывающие поляризационные характеристики реакций (1) под углами θ и $\pi - \theta$. Экспериментальная проверка соотношения (2) и полученных ниже соотношений между поляризационными характеристиками позволила бы не только осуществить детальную проверку изотопической инвариантности сильных взаимодействий, но и (при достаточной точности измерений) позволила бы исследовать характер ее нарушения.

^{x/} Заметим, что полученное в работе^{/5/} угловое распределение в реакции $n^3 + He^3 \rightarrow He^4 + d$ удовлетворяет соотношению (2) в пределах точности эксперимента.

2. Предположим вначале, что частицы a и a' принадлежат к одному изотопическому мультиплету, а суммарный изотопический спин частиц b и b' может принимать лишь одно значение (обозначим его через T)^{x/}. Если справедлива изотопическая инвариантность, то полный изотопический спин частиц a и a' также равен T . Рассмотрим вытекающие отсюда следствия.

Обозначим амплитуду реакции в с.д.и. через

$$\langle \sigma_b \kappa_b \sigma_{b'} \kappa_{b'} | M(\vec{p}', \vec{p}) | \sigma_a \kappa_a \rangle \quad (3)$$

Здесь σ и σ' (κ и κ') — проекции спинов (изотопических спинов) частиц a и a' , σ_b и $\sigma_{b'}$ — проекции спинов частиц b и b' , κ_b и $\kappa_{b'}$ — проекции их изотопических спинов, \vec{p} и \vec{p}' — импульсы частиц a и b в с.д.и. Вследствие тождественности начальных частиц получаем:

$$\begin{aligned} \langle \sigma_b \kappa_b \sigma_{b'} \kappa_{b'} | M(\vec{p}', \vec{p}) | \sigma_a \kappa_a \rangle = \\ = \pm \langle \sigma_b \kappa_b \sigma_{b'} \kappa_{b'} | M(\vec{p}', -\vec{p}) | \sigma_a' \kappa_a' \rangle \end{aligned} \quad (4)$$

(+, если a и a' — бозоны, и -, если a и a' — фермионы). Если справедлива изотопическая инвариантность, то из (4) (используя также инвариантность относительно пространственной инверсии) находим:

$$\begin{aligned} \langle \sigma_b \kappa_b \sigma_{b'} \kappa_{b'} | M(\vec{p}', \vec{p}) | \sigma_a \kappa_a \rangle = \\ = \eta \langle \sigma_b \kappa_b \sigma_{b'} \kappa_{b'} | M(-\vec{p}', \vec{p}) | \sigma_a' \kappa_a' \rangle \end{aligned} \quad (5)$$

где множитель η может принимать значения ± 1 .

Пусть спиновое состояние начальных частиц a и a' описывается матрицами плотности ρ и ρ' , соответственно. Матрица плотности конечного состояния равна

$$\rho_f(\vec{p}', \vec{p}) = M(\vec{p}', \vec{p}) \rho \times \rho' M^\dagger(\vec{p}', \vec{p}). \quad (6)$$

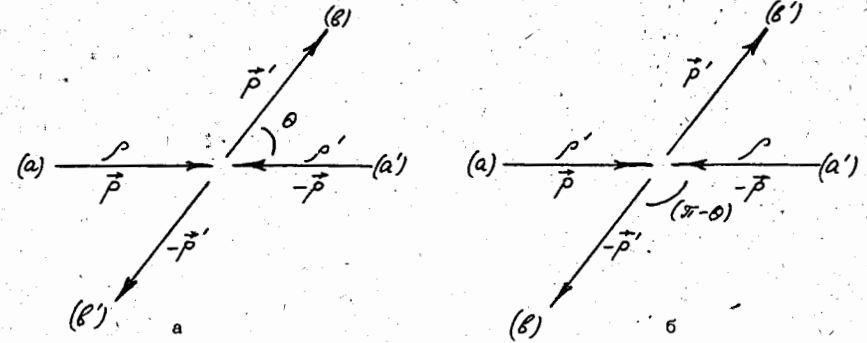
Используя соотношение (5), получаем

$$\rho_f(\vec{p}', \vec{p}) = M(-\vec{p}', \vec{p}) \rho \times \rho' M^\dagger(-\vec{p}', \vec{p}) = \rho_f(-\vec{p}', \vec{p}). \quad (7)$$

Таким образом, если суммарный изотопический спин частиц b и b' может принимать только одно значение, то из изотопической инвариантности и тождественности начальных частиц следует, что конечная матрица плотности реакции (1) в случае, когда спиновое состояние частиц a и a' описывается матрицами плотности ρ и ρ' , а

^{x/} Это может быть в двух случаях; 1) изотопический спин одной из частиц равен нулю, 2) частицы b и b' обладают максимальными (или минимальными) проекциями изотопических спинов.

импульс частиц b в с.д.и. равен \vec{p}' (рис. 1а), совпадает с матрицей плотности реакции в случае, когда спиновое состояние частиц a и a' описывается матрицами ρ и ρ' соответственно, а частицы b в с.д.и. вылетают с импульсом $-\vec{p}'$ (рис. 1б).



Р и с. 1

Из (7) и (6) легко получить соотношения симметрии для наблюдаемых на опыте величин.

Рассмотрим частные случаи.

а. Пусть обе начальные частицы не поляризованы. Тогда

$$\rho = \rho' = \frac{1}{2s + 1} \quad (8)$$

(s — значение спина начальных частиц) и из (6) и (7) получаем^{x/}

$$\rho_f(\vec{p}', \vec{p}) = \rho_f(-\vec{p}', \vec{p}). \quad (9)$$

Отсюда без труда находим (2). С помощью (9) нетрудно получить аналогичные соотношения и для поляризационных характеристик реакции (1) (в случае, когда спины частиц b и b' отличны от нуля). В частности, из (9) находим:

$$\begin{aligned} P_b(\theta) &= -P_{b'}(\pi - \theta), \\ P_{b'}(\theta) &= -P_b(\pi - \theta). \end{aligned} \quad (10)$$

Здесь $P_b(\theta) = \frac{\text{Sp } \vec{s}_b \vec{n} \rho_f(\vec{p}', \vec{p})}{s_b \text{Sp } \rho_f(\vec{p}', \vec{p})}$ — поляризация частиц b , возникающая в реакции (1) с неполяризованным пучком и неполяризованной мишенью ($\vec{n} = \frac{\vec{p} \times \vec{p}'}{|\vec{p} \times \vec{p}'|}$ — нормаль к плоскости реакции).

б) Начальные частицы поляризованы.

^{x/} Очевидно, что это соотношение справедливо также и в случае, когда спины начальных частиц равны нулю.

Ограничимся рассмотрением таких процессов, в которых спины начальных частиц равны 1/2. В этом случае из (6) и (7) находим:

$$M(\vec{p}', \vec{p}) \frac{1}{2} (1 + \vec{\sigma}_a \cdot \vec{P}) \frac{1}{2} (1 + \vec{\sigma}_a \cdot \vec{P}') M^+(\vec{p}, \vec{p}) = \\ = M(-\vec{p}', \vec{p}) \frac{1}{2} (1 + \vec{\sigma}_a \cdot \vec{P}) \frac{1}{2} (1 + \vec{\sigma}_a \cdot \vec{P}') M^+(-\vec{p}, \vec{p}), \quad (11)$$

где $\vec{\sigma}_a$ и $\vec{\sigma}_a'$ - матрицы, действующие на спиновые переменные частиц a и a' , соответственно. Рассмотрим наиболее простые наблюдаемые. Из (11) получаем:

$$\sigma_0(\theta) (1 + A_1^a(\vec{p}', \vec{p}) P_1 + A_1^{a'}(\vec{p}', \vec{p}) P_1' + A_{1k}(\vec{p}', \vec{p}) P_1 P_k) = \\ = \sigma_0(\pi - \theta) (1 + A_1^a(-\vec{p}', \vec{p}) P_1 + A_1^{a'}(-\vec{p}', \vec{p}) P_1' + A_{1k}(-\vec{p}', \vec{p}) P_1 P_k), \quad (12)$$

где векторы асимметрии A_1^a и $A_1^{a'}$ и тензор асимметрии A_{1k} определены следующим образом:

$$A_1^a = \frac{1}{4\sigma_0} \text{Sp} M \sigma_{a1} M^+, \\ A_1^{a'} = \frac{1}{4\sigma_0} \text{Sp} M \sigma_{a'1} M^+, \quad (13) \\ A_{1k} = \frac{1}{4\sigma_0} \text{Sp} M \sigma_{a1} \sigma_{a'k} M^+.$$

С помощью соотношения (12) находим

$$A_1^a(\vec{p}', \vec{p}) = A_1^{a'}(-\vec{p}', \vec{p}), \quad (14) \\ A_{1k}(\vec{p}', \vec{p}) = A_{k1}(-\vec{p}', \vec{p}).$$

Отсюда для наблюдаемых на опыте величин получаем:

$$A_{nn}^a(\theta) = -A_{nn}^{a'}(\pi - \theta), \\ A_{nn}(\theta) = A_{nn}(\pi - \theta), \quad (15) \\ A_{nn}(\theta) = A_{nn}(\pi - \theta), \\ A_{nk}(\theta) = -A_{kn}(\pi - \theta), \\ A_{kk}(\theta) = A_{kk}(\pi - \theta).$$

Здесь \vec{k} - единичный вектор в направлении импульса частиц a в л.с., $\vec{s} = \vec{n} \times \vec{k}$ ($A_{od} = A_{1k} c_i d_k$). Заметим, что наличие поляризованных пучков и поляризованных мишеней делает проверку соотношений (15) вполне возможной.

Из (11) нетрудно получить также аналогичные соотношения для наблюдаемых, характеризующих состояние поляризации конечных частиц.

Примерами реакций рассмотренного типа являются



где ν - любой нейтральный бозон с изотопическим спином нуль или единица ($\pi^0, \rho^0, \eta, \omega, \phi, f$ и т.д.). Реакция $n + p \rightarrow d + \pi^0$ подробно рассмотрена в работах /6/. Другой пример /5/:



3. Рассмотрим теперь реакции (1) в случае, когда конечные частицы b и b' являются членами одного изотопического мультиплетта, а суммарный изотопический спин начальных частиц может принимать одно значение. Из изотопической инвариантности и тождественности конечных частиц в этом случае получаем:

$$\langle \sigma \kappa \sigma' \kappa' | M(\vec{p}', \vec{p}) | \sigma_a \kappa_a \sigma_{a'} \kappa_{a'} \rangle = \\ = \eta' \langle \sigma' \kappa \sigma \kappa' | M(-\vec{p}', \vec{p}) | \sigma_a \kappa_a \sigma_{a'} \kappa_{a'} \rangle. \quad (18)$$

Здесь κ и κ' - проекции изотопических спинов частиц b и b' , σ_a и $\sigma_{a'}$ (κ_a и $\kappa_{a'}$) - проекции спинов (изотопических спинов) частиц a и a' .

Отсюда находим, что конечная матрица плотности $\rho_f(\vec{p}', \vec{p}) = M(\vec{p}', \vec{p}) \rho_a \times \rho_{a'} M^+(\vec{p}, \vec{p})$ удовлетворяет соотношению:

$$\rho_f(\vec{p}', \vec{p}) = P_\sigma \rho_f(-\vec{p}', \vec{p}) P_\sigma, \quad (19)$$

где P_σ - оператор перестановки спиновых переменных конечных частиц.

Из этого соотношения легко видеть, что в случае, если начальные частицы не поляризованы, а спины конечных частиц отличны от нуля:

$$\sigma_0(\theta) = \sigma_0(\pi - \theta), \\ P_b(\theta) = -P_b(\pi - \theta). \quad (20)$$

Если спины начальных частиц равны 1/2, из (19) получаем:

$$A_{nn}^a(\theta) = -A_{nn}^{a'}(\pi - \theta), \\ A_{nn}^{a'}(\theta) = -A_{nn}^a(\pi - \theta), \\ A_{nn}(\theta) = A_{nn}(\pi - \theta), \\ A_{nn}(\theta) = A_{nn}(\pi - \theta), \\ A_{nk}(\theta) = -A_{nk}(\pi - \theta),$$

$$\begin{aligned} \Lambda_{ks}(\theta) &= -\Lambda_{ks}(\pi - \theta), \\ \Lambda_{kk}(\theta) &= \Lambda_{kk}(\pi - \theta). \end{aligned} \quad (21)$$

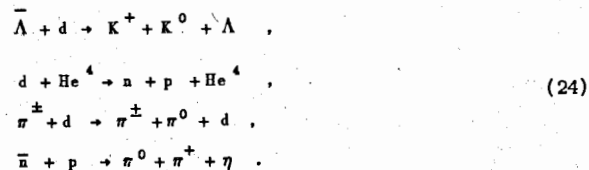
С помощью (19) нетрудно найти аналогичные соотношения для остальных наблюдаемых. Реакциями рассмотренного в п. 3 типа являются



В заключение заметим, что соотношения (20), (21) справедливы также и для реакций

$$a + a' \rightarrow b + b' + c \quad (23)$$

в случае, когда изотопический спин частицы c равен нулю и по импульсу этой частицы в наблюдаемых величинах производится интегрирование. Приведем в качестве примера несколько реакций такого типа:



Два автора (С.Б. и Л.Л.) благодарны Г.М. Осетинскому за полезные обсуждения рассмотренных здесь вопросов.

Л и т е р а т у р а

1. Б.М. Понтекорво. Труды девятой международной конференции по физике высоких энергий. Киев, стр. 60 (1959). Альварец, там же, стр. 379.
2. Ю.К. Акимов, О.В. Савченко, Л.М. Сороко. ЖЭТФ, 41, 708 (1961);
J.A. Poirier, M.Pripstein. Phys. Rev., 130, 1171 (1963);
В.Г. Гришин, М.И. Подгорецкий. ЖЭТФ, 45, 783 (1963).
3. Crawford et al. Phys. Rev. Lett., 3, 394 (1959).
4. S. Barshay, G.M. Temmer. Phys. Rev. Lett., 12, 728 (1964).
5. Ван Нэн-мин, Б.Г. Новацкий, Г.М. Осетинский, Цзен Най-гун, И.А. Чепурченко. Препринт ОИЯИ, Р-2038, Дубна, 1965.

6. Л.И. Лapidус. ЖЭТФ, 33, 204 (1957);

Л.Ш. Шехтер. Ядерная физика, 3, 739 (1966).

Рукопись поступила в издательский отдел
15 марта 1966 г.